< その7>食品用器具・容器包装に用いられる安定剤に関する研究

研究分担者 藤原 恒司 研究協力者 近藤 翠 研究協力者 中村 優花 研究代表者 六鹿 元雄 国立医薬品食品衛生研究所 国立医薬品食品衛生研究所 明治薬科大学 国立医薬品食品衛生研究所

及び商品名の例示と共に表1に示した。

A. 研究目的

合成樹脂は熱や光に対する安定性が高く なく、紫外線等の外部要因によって容易に 劣化する性質を有する。そのため、多くの 合成樹脂製品には耐用年数の延長を目的と して紫外線吸収剤や酸化防止剤といった安 定剤が添加されている。これらの安定剤は、 自身が外部要因からの影響を受け分解や変 性することによって、ポリマー等の主成分 の分解等を防ぐ作用を示す。実際に、酸化 防止剤として用いられるジブチルヒドロキ シトルエン (BHT) は、紫外線によりその 構造が変化することが明らかにされている 1)。しかし、大部分の安定剤については、 どのように分解または変性するかについて よく知られていない。このような分解等に より生じた物質は、非意図的添加物質 (Non-Intentionally Added Substance: NIAS) と呼ばれ、合成樹脂製器具・容器 包装においてもこれらが含まれていること が報告されている 2-5)。 さらに、欧州連合 (EU) では NIAS に対し、添加剤と同じ安 全要件を課す方向性が示されている。

そこで本研究では、食品用器具・容器包 装の安定剤として世界的に広く用いられて いる35物質を対象として、紫外線照射によ る分解等の有無を確認し、一部の生成物に ついて構造予測を行った。

B. 研究方法

1. 安定剤

本研究で用いた35種類の安定剤について、 4. 反応溶液の調製 PL 通し番号、CAS RN®、製造元、構造式

2. 試薬

メタノール (MeOH): LC-MS 用、関東 化学(株)製

1,1,1,3,3,3-ヘキサフルオロイソプロパノ ール (HFIP): HPLC 用、富士フイルム和 光純薬 (株) 製

ジクロロメタン (DCM): 残留農薬・ PCB 試験用、富士フイルム和光純薬(株)

水 (反応溶液調製用):超純水装置 PURELAB flex (ORGANO 社製) で製造し た超純水

水 (H₂O、LC-MS 移動相用): PURIC-ω (ORGANO 社製) により製造した超純水 アセトニトリル (ACN): LC-MS 用、関 東化学(株)製

ぎ酸(約99%): LC-MS 用、富士フイル ム和光純薬(株)製

1 mol/L ぎ酸アンモニウム溶液: HPLC 用、 富士フイルム和光純薬(株)製

3. 装置

LC-MS: AQUITY UPLC H-Class, AQUITY PDA eλ Detector, Xevo TQ-S cronos (分解等確認用) または Xevo G2-XS QTof (精密質量測定用)、Waters 社製 紫外線ランプ: Handy UV Lamp SLUV-6、 AS ONE 社製

各対象物質は石英製の試験管に 10 mg 量

りとり、表 1 に示した溶媒を 5 mL 用いて溶解した。この試験管を紫外線ランプから 1 cm の距離に置き、波長 254 nm の紫外線 (UV₂₅₄)を 16 時間照射した。照射後の溶液を反応溶液として、MeOH で 200 倍に希釈して LC-MS により測定した。別途、対象物質を溶媒に溶解した直後、並びに遮光下で16時間静置した溶液を対照溶液として同様に測定した。LC-MS 測定条件は表 2 に示した。

C. 研究結果及び考察

1. 対象物質の選定

対象物質は、安定剤として世界的に広く 用いられている物質とした。日本で使用が 認可されている物質は、令和5年11月30 日に食品、添加物等の規格基準の一部を改 正する件(令和5年厚生労働省告示第324 号)によって再整理された器具・容器包装 のポジティブリスト (別表第1第2表)、 米国で使用が認可されている物質は、FDA の連邦規則集 (CFR: Code of Federal Regulations) 173, $175 \sim 178$, 179.45, 180.22、181 及び 186 に記載されている物 質、EU で使用が認可されている物質は、 ECHA が公表している The Union List of Authorized Substances: Annex (https://echa.europa.eu/plastic-materialfood-contact/-/legislationlist/substance/ 100.044.602) に記載されている物質を参 考とし、日本、米国、EU の3地域で共通 して使用が認可されている物質のうち、紫 外線吸収剤、酸化防止剤等のポリマー等の 分解を防ぐ目的を主として使用される35物 質(1-35)を対象物質として選定した(表 1)。

2. 紫外線照射による物質の変化

各対象物質の反応溶液と対照溶液を LC-MS (Xevo TQ-S cronos (分解等確認用))

で測定し、検出器をPDAとするクロマトグラム (PDA クロマトグラム) 及びトータルイオンクロマトグラム (MS クロマトグラム) の変化の有無を確認した。ただし、物質 4 については、今回の分析条件ではピークを確認することができなかったため、以降の検討の対象から除外した。

34 物質について PDA 及び MS クロマト グラムの変化の有無を確認した結果、26物 質で変化が確認された(表 3)。このうち7 物質 (2、5、9、10、15、16、23) は、 PDA 及び MS クロマトグラムの両方で紫外 線照射により対象物質とは異なる新たなピ ークが検出され、19 物質(3、7、8、11、 17-22、24-29、31、33、34) は、MS クロ マトグラムにおいてのみ対象物質とは異な る新たなピークが検出された。このうち5 物質(17、18、27、33、34)については PDA クロマトグラムにおける対象物質のピ ークが消失し、MS クロマトグラムではバ ックグラウンドマススペクトルと区別がつ かないマススペクトルを示す微弱なピーク が多数検出されたり、MS クロマトグラム のピークがブロードするなど、生成物に由 来するイオンを特定することが困難なクロ マトグラムパターンを示した。これら以外 の 8 物質(1、6、12-14、30、32、35)は、 反応溶液と対照溶液のクロマトグラムに違 いがみられず、今回行った紫外線照射では 分解等の反応が生じなかった。

3. 生成物の構造予測

PDA 及び MS クロマトグラムの両方で変化の認められた 7 物質(2、5、9、10、15、16、23)について、LC-MS 分析により取得した生成物の保持時間(t_R)及びマススペクトルにおける質量電荷比(m/z)を表 4に示した。これらのデータに加えて LC-QTof-MS 分析による精密質量測定を行い、生成物の構造予測を行った。

1)物質2

物質 $\mathbf{2}$ (分子式: $C_{34}H_{52}N_2O_4$ 、モノアイソトピック質量:552.3927、 t_R : 14.8 分)では、 UV_{254} 照射により図 1 に示したように PDA クロマトグラムに $\mathbf{2a}$ (t_R : 12.0 分)及び $\mathbf{2b}$ (t_R : 12.9 分)のピークが新たに観測された。

2b はポジティブイオンモードの高分解能 ESI-MS(positive HRESIMS) で m/z 209.1538 [M+H] $^+$ (calculated (calcd.) for $C_{13}H_{21}O_2$, 209.1536) が観測されたことから、その分子式は $C_{13}H_{20}O_2$ と推定された。このことから、**2b** は 2 の C-N 結合の開裂とカルボニル炭素の還元、さらに tert-butyl 基の脱離により生成した 2-(tert-butyl)-4-(3-hydroxypropyl)phenol と予想された。一方、**2a** は PDA クロマトグラム上でピークが観測されたものの、MS クロマトグラム上でピークが観測されたかったため、その構造予測を行うことができなかった。

2)物質5

物質 $\mathbf{5}$ (分子式: $C_{29}H_{42}O_3$ 、モノアイソトピック質量:438.3134、 t_R : 19.0 分)では、 UV_{254} 照射により図 2 に示したように $\mathbf{5a}$ (t_R : 10.8 分)、 $\mathbf{5b}$ (t_R : 14.9 分)、 $\mathbf{5c}$ (t_R : 16.8 分)、 $\mathbf{5d}$ (t_R : 17.0 分)、 $\mathbf{5e}$ (t_R : 17.8分)、及び $\mathbf{5f}$ (t_R : 20.9分)のピークが新たに観測された。

5a は positive HRESIMS で m/z 251.1651 [M+H]+ (calcd. for $C_{15}H_{23}O_3$, 251.1642) が 観測されたことから、その分子式は $C_{15}H_{22}O_3$ と推定された。このことから、**5a** は **5** から 2,4-di-*tert*-butyl-4-hydroxyphenoxy 基が脱離して生成した 3,5-di-*tert*-butyl-4-hydroxybenzoic acid と予想された。**5b** 及び **5e** は positive HRESIMS で m/z 383.2594 及び m/z 383.2589 [M+H]+ (calcd. for $C_{25}H_{35}O_3$, 383.2581) が観測されたことから、その分子式は $C_{25}H_{34}O_3$ と推定

された。このことから、5b 及び 5e の構造 は5から tert-butyl 基が脱離した物質と予想 された。5c はネガティブイオンモードの高 分解能 ESI-MS (negative HRESIMS) で m/z 399.1391 [M-H]⁻ (calcd. for $C_{18}H_{21}F_6O_3$, 399.1400) が観測されたことから、その分 子式は $C_{18}H_{22}F_6O_3$ と推定された。このこと から、5c は溶媒として用いた HFIP が 5aの 生成過程で生じたアシルラジカルと反応し て生成した 1,1,1,3,3,3-hexafluoropropan-2yl-3,5-di-tert-butyl-4-hydroxybenzoate と予 想された。**5d** は negative HRESIMS で m/z 353.2481 [M-H] (calcd. for C₂₄H₃₃O₂, 353.2486) が観測されたことから、その分 子式は $C_{24}H_{34}O_{2}$ と推定された。このことか ら、5d は 5a が生成する際に脱離した 2,4di-tert-butylphenoxy 基に由来する 2,4-ditert-butylphenol が tert-butyl 基の脱離を伴 いながら二量化した物質と予想された。ま た、**5f**は positive HRESIMS で m/z 439.3219 $[M+H]^+$ (calcd. for $C_{29}H_{43}O_3$, 439.3207) \mathcal{D}^3 観測されたことから、その分子式は 5 と同 じく C₂₉H₄₂O₃と推定された。このことから、 5f は 5 が転位反応等を起こして置換基の位 置が変化した物質と予想された。

3)物質9

物質 $\mathbf{9}$ (分子式: $C_{33}H_{50}O_6P_2$ 、モノアイソトピック質量:604.3083、 t_R :22.5 分)では、 UV_{254} 照射により図 $\mathbf{3}$ に示したように $\mathbf{9a}$ (t_R : 14.1 分)、 $\mathbf{9b}$ (t_R : 14.3 分)、及び $\mathbf{9c}$ (t_R : 17.0 分)のピークが新たに観測された。

9a は遮光下で 16 時間保管した際にも検出され、positive HRESIMS で m/z 599.1395 $[M+H]^+$ (calcd. for $C_{22}H_{31}F_6O_8P_2$, 599.1389) が観測されたことから、その分子式は $C_{22}H_{30}F_6O_8P_2$ と推定された。このことから、9a は溶媒として用いた HFIP が 9 のリン原子 に 付 加 す る と 共 に 2,4-di-tert-

butylphenoxy 基が脱離し、9 に含まれる 2 個のリン原子がそれぞれ酸化されたことで生成したリン酸エステルと予想された。9b は negative HRESIMS で m/z 297.1862 [M-H] (calcd. for $C_{20}H_{25}O_{2}$, 297.1860) が観測されたことから、その分子式は $C_{20}H_{26}O_{2}$ と推定された。このことから、9b の構造は 9 から 2,4-di-tert-butylphenoxy 基が脱離することで生成した 2 分子の 2,4-di-tert-butylphenol が 2 つの tert-butyl 基の脱離を伴いながら結合した構造と予想された。9c は 5d と同一の保持時間であり、そのマススペクトルからも 5d と同じく m/z 353.5 (neg.) のシグナルが得られたため、9c は 5d と同一の物質と予想された。

4)物質10

物質 10(分子式: $C_{38}H_{58}O_6S$ 、モノアイソトピック質量:642.3954、 t_R :17.9 分)では、 UV_{254} 照射により図 4 に示したように 10a (t_R : 14.5 分)のピークが新たに観測された。10a は positive HRESIMS で m/z 548.3044 [M+NH₄]⁺ (calcd. for $C_{30}H_{46}NO_6S$, 548.3040) が観測されたことから、その分子式は $C_{30}H_{42}O_6S$ と推定された。このことから、10a は 10 から tert-butyl 基が 2 つ脱離した物質と予想された。

5)物質15

物質 **15**(分子式: $C_{33}H_{56}N_4OS_2$ 、モノアイソトピック質量:588.3896、 t_R :31.4 分)では、 UV_{254} 照射により図 5 に示したように **15a** (t_R : 8.2 分)、**15b** (t_R : 14.9 分)、**15c** (t_R : 15.2 分)、**15d** (t_R : 18.5 分)、**15e** (t_R : 20.1 分)及び **15f** (t_R : 21.5 分)のピークが新たに観測された。

15a は positive HRESIMS で m/z 257.1437 $[M+H]^+$ (calcd. for $C_{11}H_{21}N_4OS$, 257.1431) が観測されたことから、その分子式は $C_{11}H_{20}N_4OS$ と推定された。このことから、

15a は 15 から 3,5-di-tert-butyl-4hydroxyphenyl 基と octylsulfanyl 基が脱離 し、いずれかの位置に酸素原子が 1 つ結合 した構造と予想された。15b は positive HRESIMS \mathcal{C} m/z 262.1800 (calcd. for C₁₆H₂₄NO₂, 262.1802) が観測されたことか ら、その分子式はC₁₆H₂₃NO₂やC₁₆H₂₀O₂な どと予想された。このことから、15b の構 造中にトリアジン環や octylsulfanyl 基が存 在しないと考えられた。そのため、15b は 4-amino-2,6-di-tert-butylphenol を母核とす る構造と予想されたが、詳細な構造式を予 想するまでには至らなかった。15c は positive HRESIMS © m/z 461.2959 [M+H]+ (calcd. for C₂₅H₄₁N₄O₂S, 461.2945) が観測 されたことから、その分子式は C₂₅H₄₀N₄O₂S と推定された。このことから、 15c は 15 から octylsulfanyl 基が脱離し、い ずれかの位置に酸素原子が 1 つ結合した構 造と予想された。15d は positive HRESIMS $\mathcal{C} = m/z = 445.3004 \quad [M+H]^+ \quad \text{(calcd. for }$ C₂₅H₄₁N₄OS, 445.3000) が観測されたこと から、その分子式は C₂₅H₄₀N₄OS と推定さ れた。15d の分子式は 15c の分子式と比べ て酸素1原子分少なかったことから、15d は 15 から octylsulfanyl 基が脱離した物質 と予想された。15e は positive HRESIMS で m/z 385.2470 [M+H]⁺ (calcd. for C₁₉H₃₇N₄S₂, 385.2454) が観測されたことから、その分 子式は $C_{19}H_{36}N_4S_2$ と推定された。このこと から、15e は 15 から 3,5-di-tert-butyl-4hydroxyphenyl 基が脱離した物質と予想さ れた。また、15f は positive HRESIMS で m/z605.3931 $[M+H]^+$ (calcd. C₃₃H₅₇N₄O₂S₂, 605.3918) が観測されたこと から、その分子式はC33H56N4O2S2と推定さ れた。このことから、15fは15のいずれか の位置の水素原子がヒドロキシ基に置き換 わった構造と予想された。

6)物質16

物質 16(分子式: $C_{17}H_{29}O_4P$ 、モノアイソトピック質量:328.1804、 t_R :10.6 分)では、 UV_{254} 照射により図 6 に示したように 16a (t_R : 9.7 分)のピークが新たに観測された。16a は negative HRESIMS で m/z 327.1724 [M-H] (calcd. for $C_{17}H_{28}O_4P$, 327.1731) が観測されたことから、その分子式は 16 と同じく $C_{17}H_{29}O_4P$ と推定された。このことから、16a は 16 の転位反応等により置換基の位置が変化した物質と予想された。

7)物質23

物質 23 (分子式: C₂₂H₃₀O₂S、モノアイ ソトピック質量:358.1967、tR:14.5 分) では、UV254 照射により図 7 に示したよう に **23a** (t_R: 13.1分) 及び **23b** (t_R: 15.8分) のピークが新たに観測された。23b は negative HRESIMS \mathcal{C} m/z 389.1605 [M-H] (calcd. for C₂₂H₂₉O₂S₂, 389.1615) が観測さ れたことから、その分子式は $C_{22}H_{30}O_2S_2$ と 推定された。このことから、23b は 2 分子 の23がC-S結合でそれぞれ開裂したのち、 硫黄原子を有する分子同士でジスルフィド 結合を形成した構造と予想された。23a は PDA クロマトグラム上でピークが観測され たものの、MS クロマトグラム上ではピー クが観測されなかったため、その構造を予 想することができなかった。

D. 結論

本研究では世界的に広く使用されている 安定剤35種を対象に、紫外線照射による分解等の有無を確認した。その結果、7物質はPDAクロマトグラム上、19物質はMSクロマトグラム上で新たな物質の生成が観測された。さらに、PDAクロマトグラム上で新たなピークが認められた7物質について、マススペクトルを用いて新たに生成した物 質の構造を予想した。その結果、一部の生成物について構造を予想することができ、紫外線により 2,4-di-tert-butylphenoxy 基または 3,5-di-tert-butyl-4-hydroxyphenyl 基の脱離、二量化、酸化、ジスルフィド化、置換基の移動等の変化が起こることが示唆された。今後は本研究で検出された物質の構造を決定するために、核磁気共鳴装置などを用いた詳細な構造解析を行う予定である。

E. 参考文献

- 原納靖子,星野乙松,浮田忠之進:大豆油中に添加したBHTの紫外線による分解について,衛生化学,13,197-201 (1967)
- 2) 令和 2 年度厚生労働科学研究費補助金食品の安全確保推進研究事業 食品用器具・容器包装等の衛生的な製造管理等の推進に資する研究 総括・分担研究報告書,p 58-68 (2021)
- 3) 令和3年度厚生労働科学研究費補助金食品の安全確保推進研究事業 食品用器具・容器包装等の衛生的な製造管理等の推進に資する研究 総括・分担研究報告書,p77-102 (2022)
- 4) 令和 4 年度厚生労働科学研究費補助金食品の安全確保推進研究事業 食品用器具・容器包装等の衛生的な製造管理等の推進に資する研究 総括・分担研究報告書,p38-54(2023)
- 5) 令和5年度厚生労働科学研究費補助金食品の安全確保推進研究事業 食品用器具・容器包装等の衛生的な製造管理等の推進に資する研究 総括・分担研究報告書,p57-64(2024)

表1 本研究に用いた安定剤リストとその溶解溶媒

Comp. No. PL Serial No. CAS RN® Manufacturer	Structure Product name or Compound name	Solvent
1 (575) <u>2725-22-6</u> 東京化成	OH N N N UV-1164	HFIP
2 (574) <u>32687-78-8</u> A ccuStandard	Antioxidant 1024	МеОН
3 (232) <u>867-13-0</u> 東京化成	NSC 13898	МеОН
4 (312) <u>461-58-5</u> 東京化成	N NH NH2 DICY	МеОН
5 (612) <u>4221-80-1</u> 富士フイルム和光純薬	Tinuvin 120	HFIP
6 (613) <u>67845-93-6</u> Combi-Blocks	UV Absorber 2908	HFIP
7 (617) <u>35074-77-2</u> A ceuStandard	HO OH Irganox 259	МеОН

表 1 (続き)

Comp. No.		I
PL Serial No.	Structure	Solvent
CAS RN® Manufacturer	Product name or Compound name	
8 (715) <u>23128-74-7</u> Combi-Blocks	Antioxidant 1098	HFIP
9 (320) <u>26741-53-7</u> AccuStandard	Ultran ox 626	НБІР
10 (589) 41484-35-9 東京化成	Antioxidant 1035	HFIP
11 (464) <u>111-17-1</u> 東京化成	HO S S OH	МеОН
12 (726) <u>70321-86-7</u> Ciba-Geigy	Tinuvin 234	DCM
13 (628) <u>3896-11-5</u> 東京化成	UV Absorber 326	DCM
14 (635) <u>2440-22-4</u> 東京化成	Drometrizole	DCM
15 (569) 991-84-4 Ciba-Geigy	Antioxidant 565	DCM

表 1 (続き)

払 1 (別じ)		
Comp. No. PL Serial No. CAS RN® Manufacturer	Structure Product name or Compound name	Solvent
16 (620) 65140-91-2 Ciba-Geigy	OH HO O Irganox 1425	H ₂ O
17 (629) <u>36443-68-2</u> Ciba-Geigy	Antioxidant 245	DCM
18 (618) <u>2082-79-3</u> 東京化成	Antioxidant 1076	DCM
19 (531) <u>1709-70-2</u> Aldrich	Antioxidant 1330	DCM
20 (80) <u>27676-62-6</u> Ciba-Geigy	HO H	DCM
21 (778) <u>88-24-4</u> 東京化成	Cyanox 425	DCM
22 (788) <u>119-47-1</u> 東京化成	Antioxidant 2246	DCM

表 1 (続き)

Comp. No. PL Serial No. CAS RN® Manufacturer	Structure Product name or Compound name	Solvent
23 (467) <u>96-69-5</u> 東京化成	HO Santonox	DCM
24 (93) <u>35958-30-6</u> A ldrich	Antioxidant 308	DCM
25 (473) <u>6683-19-8</u> 東京化成	Antioxidant 1010	DCM
26 (50) 31570-04-4 Ciba-Geigy	Antioxidant 168	DCM
27 (81) <u>40601-76-1</u> SIGMA	Antioxidant 1790	DCM
28 (786) <u>77-62-3</u> 東京化成	OH OH Lowinox W SP	DCM

表 1 (続き)

Comp. No.		
PL Serial No.	Structure	
CAS RN®	Product name or Compound name	Solvent
Manufacturer	•	
29 (588) <u>70331-94-1</u> 白石カルシウム	Antioxidant MD-697	DCM
30 (611)		
<u>1843-05-6</u>		DCM
東京化成	UV absorber 531	
31	0 0	
(465)		DCM
<u>16545-54-3</u> 東京化成	DMTDP	
7K / 1L / 4K	DIVITOR	
32		
(360) 147315-50-2	OH N'N	DCM
Toront		
	UV-1577	
33 (472) 106990-43-6 Toront	Chimas sorb 119	DCM
34 (520) <u>1843-03-4</u> SIGMA	HO Antioxidant CA	DCM
35 (67) <u>2090-05-3</u> 富士フイルム和光純薬	Calcium benzoate	H ₂ O

HFIP: 1,1,1,3,3,3-ヘキサフルオロイソプロパノール、MeOH:メタノール、

DCM: ジクロロメタン、 H_2O : 水

表 2 LC-MSの測定条件

LC conditions

Column temp. 35°C

Flow rate 0.2 mL/min.

Injection volume 2 μL

Detector PDA and MS

Column

AQCUITY UPLC® HSS C18

 $(2.1 \times 100 \text{ mm}, 1.8 \mu\text{m}, \text{Waters}, \text{USA})$

Mobile phase

Solvent A H₂O/formic acid/1 mol/L ammonium formate (99.4/0.5/0.1, v/v/v)

Solvent B ACN/formic acid (99.5/0.5, v/v)

Gradient system 20% B (0 min)

20-100% B (15 min, Linear) 100% B (15, 25, 35, or 40 min)

20% B (5 min)

PDA condition

Wave length 210-400 nm

MS conditions

Capillary voltage 3.0 kV
Cone voltage 30 V
Source temp. 150°C
Desolvation temp. 500°C
Desolvation flow 1000 L/h
Cone flow 50 L/h

Ionization mode ESI(+) and (-)

Acquisition type SCAN (*m/z* 50-800, 100-800, or 300-1200) for Xevo TQ-S cronos

 MS^{E} (m/z 50-1000, collision 20-30 V) for Xevo G2-XS QTof

表 3 安定剤の UV 照射により認められた変化のまとめ

変化の有無	物質数	化合物番号
PDA 及び MS クロマトグラムで変化あり	7	2, 5, 9, 10, 15, 16, 23
MS クロマトグラムのみで変化あり	19	3, 7, 8, 11, 17*, 18*, 19-22, 24-26, 27*, 28, 29, 31, 33*, 34*
変化なし	8	1, 6, 12–14, 30, 32, 35
検出不可	1	4

^{*:}マススペクトルの解析が不可能であった物質

表 4 PDA クロマトグラムで生成が認められた物質の一覧

Compound			Compound	l (t R (min.))		
(Monoisotopic mass)			m/z (positi	ve ESI-MS) ^a		
t _R (min.)	m/z (negative ESI-MS) ^a					
2 (552.3927) 12.9	2a (12.0)	2b (12.9) 209.2				
5 (438.3134) 19.0	5a (10.8) 251.2 249.4	5b (14.9) 383.3 381.4	5c (16.8) - 399.3	5d (17.0) - 353.5	5e (17.8) 383.3 381.4	5f (20.9) 439.4 437.2
9 (604.3083) 22.5	9a (14.1) ^b 599.1, 616.1 643.3	9b (14.3) - 297.3	9 c (17.0) - 353.5			
10 (642.3954) 17.9	10a (14.5) 548.3 529.3					
15 (588.3896) 31.4	15a (8.2) 257.1	15b (14.9) 262.3	15c (15.2) 461.3	15d (18.5) 445.4	15e (20.1) 385.3	15f (21.5) 605.6
16 (328.1804) 10.6	16a (9.7) 329.2 327.3					
23 (358.1967) 14.5	23a (13.1)	23b (15.8) 390.1, 445.2 389.3, 435.3				

a: Xevo TQ-S cronos (分解等確認用) で測定した値

b: 遮光で 16 時間静置後においても検出

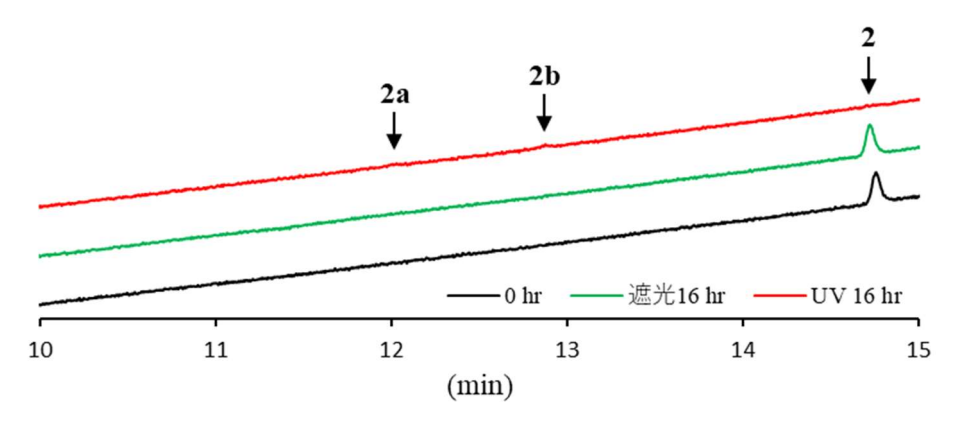


図1 物質2のUV照射及び非照射時のPDAクロマトグラム

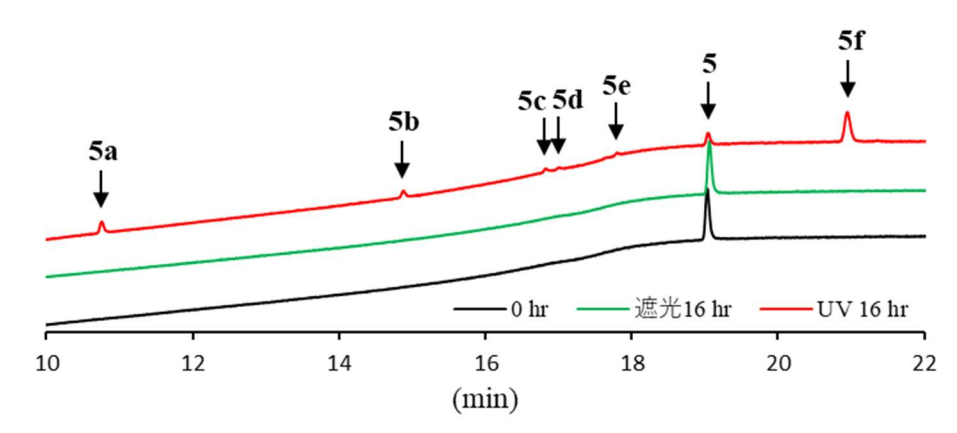


図2 物質5のUV照射及び非照射時のPDAクロマトグラム

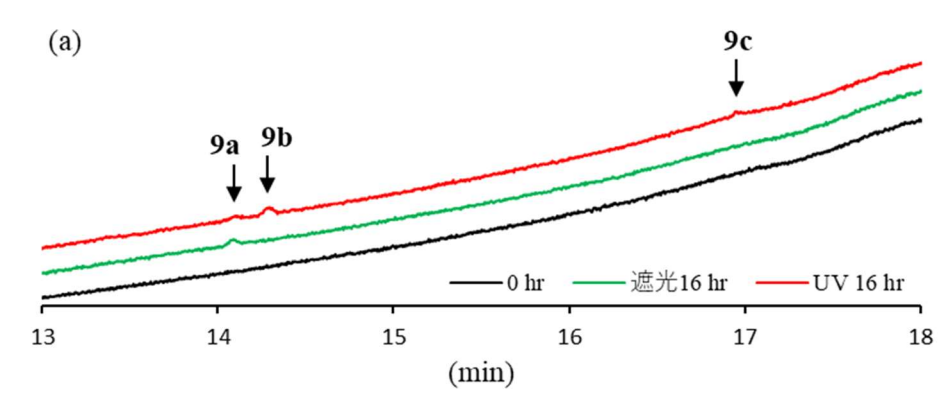


図 3-1 物質 **9** の UV 照射及び非照射時の PDA クロマトグラム (a) 13-18 分の PDA クロマトグラム

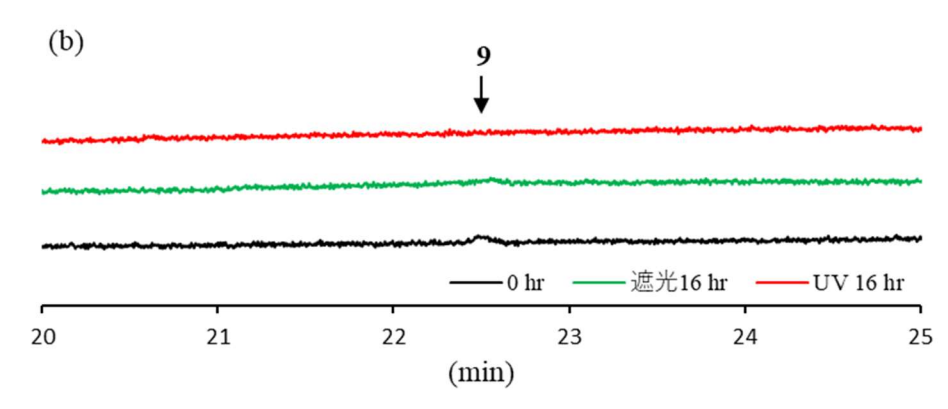


図 3-2 物質 **9** の UV 照射及び非照射時の PDA クロマトグラム (b) 20-25 分の PDA クロマトグラム

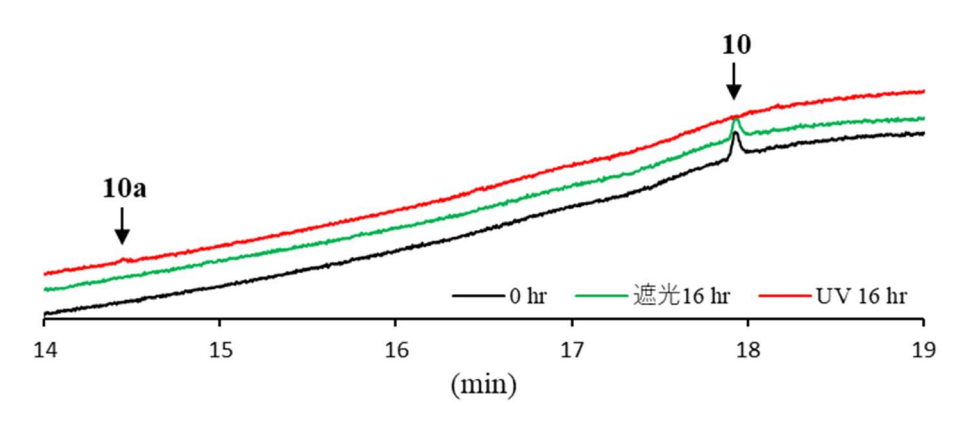


図 4 物質 10 の UV 照射及び非照射時の PDA クロマトグラム

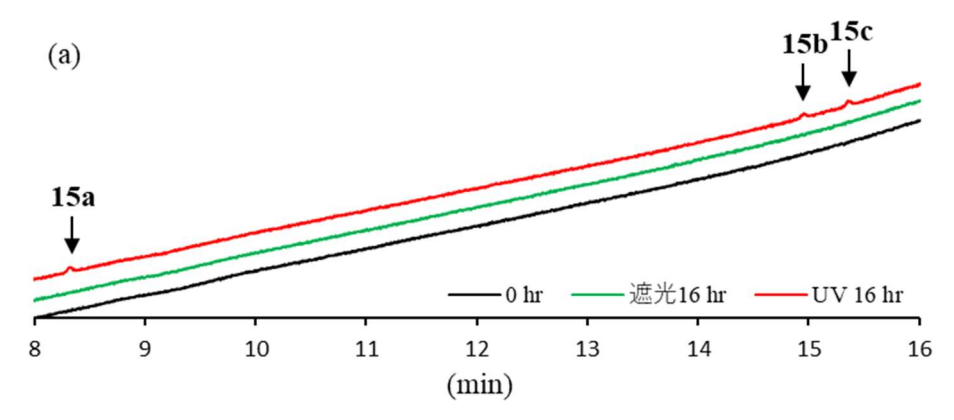
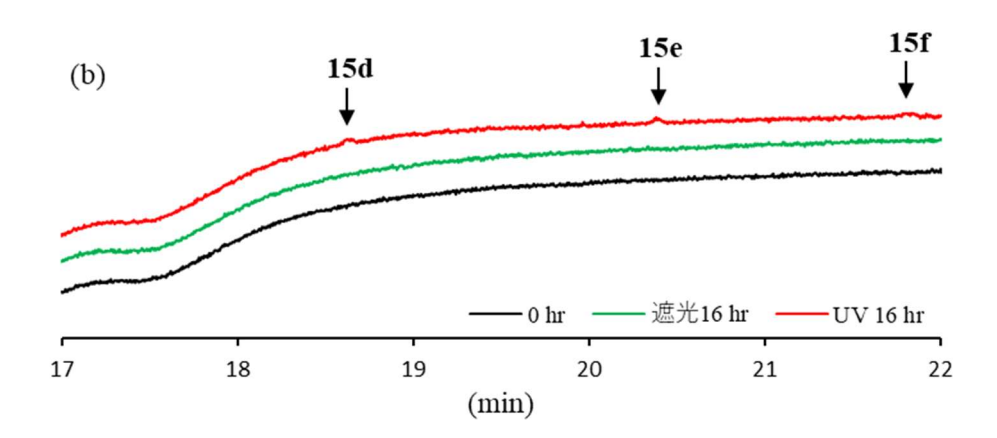


図 5-1 物質 **15** の UV 照射及び非照射時の PDA クロマトグラム (a) 8-16 分の PDA クロマトグラム



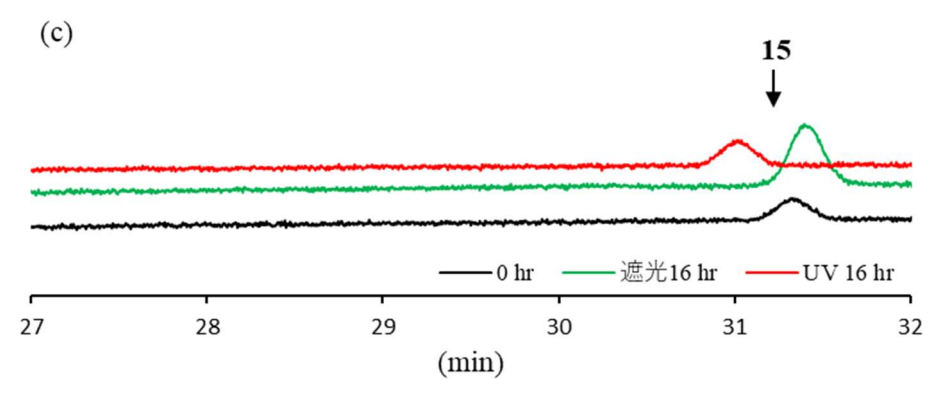


図 5-2 物質 **15** の UV 照射及び非照射時の PDA クロマトグラム (b) 17-22 分の PDA クロマトグラム、(c) 27-32 分の PDA クロマトグラム

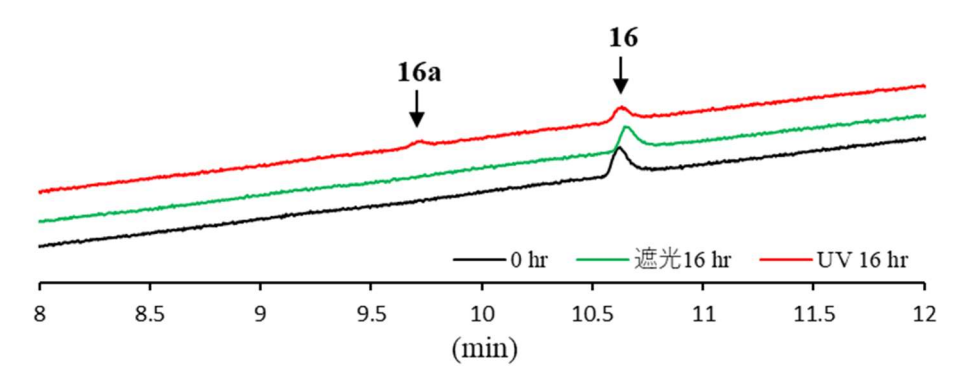


図 6 物質 16 の UV 照射及び非照射時の PDA クロマトグラム

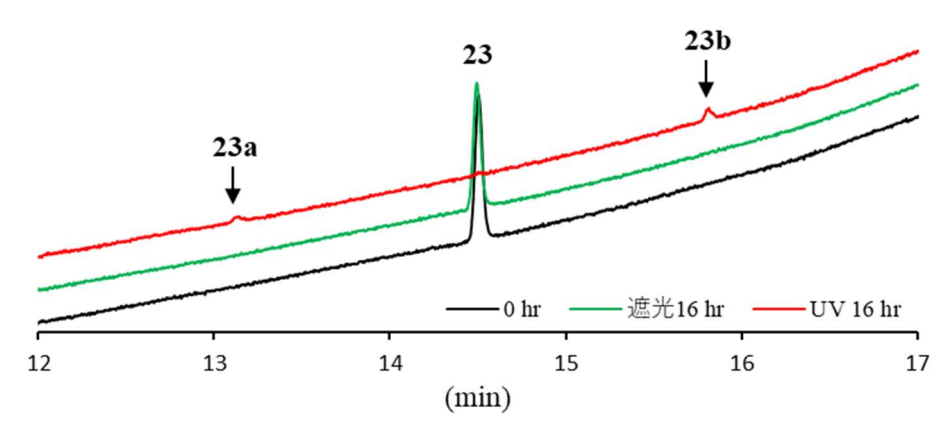


図7 物質23のUV照射及び非照射時のPDAクロマトグラム